

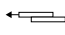
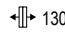


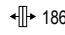



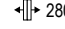


d	l ⁺¹	$\frac{\Delta}{\phi}$		
3,2	6,0	0,5 - 1,5		500
	8,0	1,0 - 3,0		500
	9,5	2,5 - 5,0		500
dk 6,0 ^{-0,3}	dm 1,9	k 1,0 ^{±0,3}	 3,3 mm  1150 N  1300 N	
4,0	6,0	0,5 - 1,5		500
	8,0	1,0 - 3,0		500
	9,5	2,5 - 5,0		500
	12,0	4,5 - 6,5		500
	16,0	6,0 - 10,5		500
dk 8,0 ^{-0,3}	dm 2,3	k 1,4 ^{±0,3}	 4,1 mm  1730 N  1860 N	

d	l ⁺¹	$\frac{\Delta}{\phi}$		
4,8	8,0	0,5 - 3,0		500
	9,5	2,5 - 5,0		500
	12,0	4,5 - 6,5		500
	16,0	6,0 - 10,5		500
dk 9,5 ^{-0,3}	dm 2,9	k 1,7 ^{±0,3}	 4,9 mm  2400 N  2800 N	